

# Фазовая намотка числовой прямой, фазовая плоскость и двойное решето

Короткие определения, простые леммы и заготовки рисунков

Автор: Горюшкин Сергей Владимирович [zz.vexel@gmail.com](mailto:zz.vexel@gmail.com)

23 августа 2025 г.

## Аннотация

Документ даёт *максимально простое* описание фазовой намотки: как каждое целое число получает координаты *уровень + высота*, как разворачивается цилиндр в плоскость, что такое *минимальный треугольник* формата  $A_0 + B_0 = C_0$ , и как формулируется *двойное решето* для  $6k \pm 1$ . Предназначен для вставки готовых рисунков: цилиндр, фазовая плоскость, решето.

## Содержание

### 1 Намотка: как число $n$ получает координаты

Фиксируем модуль  $m \in \mathbb{Z}_{\geq 1}$ . **Наматываем** числовую прямую на цилиндр так, что каждые  $m$  шагов по оси попадаем на тот же угол.

**Определение 1.1** (Координаты числа при намотке). Для  $n \in \mathbb{Z}$  определим

$$\begin{aligned} \text{уровень (фаза): } v(n) &:= n \bmod m \in \{0, 1, \dots, m-1\}, \\ \text{высота (номер витка): } h(n) &:= \left\lfloor \frac{n}{m} \right\rfloor \in \mathbb{Z}. \end{aligned}$$

На цилиндре фаза  $v$  отображается в угол  $\theta = \frac{2\pi}{m}v$ , а высота  $h$  — в осевую координату. При развёртке цилиндра в плоскость точке  $n$  сопоставляется пара  $(h(n), v(n)) \in \mathbb{Z} \times \{0, \dots, m-1\}$ .

**Замечание 1.2.** Говорим: “число  $n$  лежит на уровне  $v$  и на высоте  $h$ ”. При увеличении  $n$  на  $m$  уровень не меняется, а высота растёт на 1.

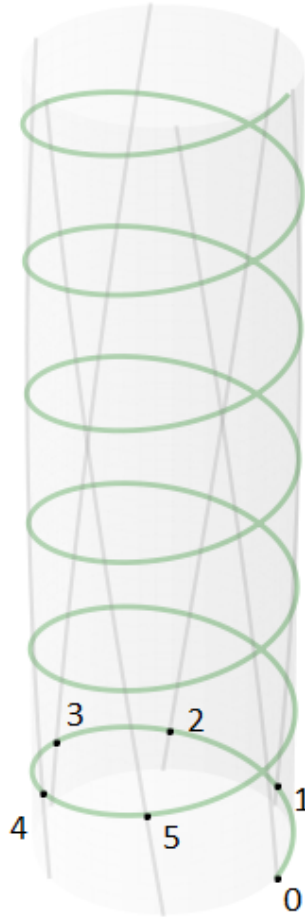


Рис. 1: Фазовая намотка числовой прямой на цилиндр ( $m = 6$ ). Числа с одинаковым остатком лежат на одной образующей.

## 2 Фазовая плоскость (развёртка цилиндра)

Разворачиваем цилиндр вдоль образующей: получаем **фазовую плоскость** с прямоугольными координатами  $(h, v)$ , где  $h \in \mathbb{Z}$  (высота) и  $v \in \{0, \dots, m-1\}$  (уровень), периодически повторяющийся по  $v$  с периодом  $m$ .

**Утверждение 2.1** (Точка  $\rightarrow$  прямая уровня). Множество  $\{n \in \mathbb{Z} : v(n) = r\}$  при развёртке образует горизонтальную прямую уровня  $v = r$ . Все уровни  $v = 0, 1, \dots, m-1$  — параллельны.

**Утверждение 2.2** (Повороты/степени по фазе). Если считать фазу как угол  $\theta = \frac{2\pi}{m}v$ , то операция “ $n$ -я степень” действует по фазе как умножение:  $v \mapsto (n \cdot v) \bmod m$ . На плоскости это замена уровня  $v$  на  $nv \bmod m$ .

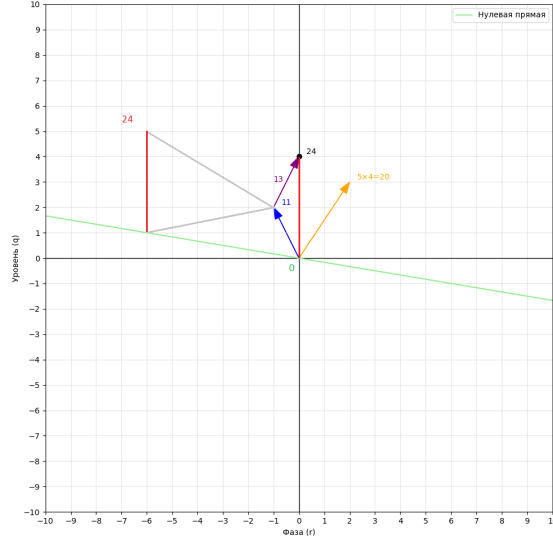


Рис. 2: Фазовая плоскость: развёртка цилиндра. Горизонтальные линии соответствуют фиксированным фазам (остаткам по модулю  $m$ ).

**Определение 2.3** (Минимальный треугольник; якорная версия). Пусть фиксирован модуль  $m \geq 1$  и остатки  $(A_0, B_0, C_0) \in \{0, \dots, m-1\}^3$  удовлетворяют  $A_0 + B_0 \equiv C_0 \pmod{m}$ . Якорным семейством (с якорем  $A$ ) называем множество решений

$$\mathcal{S}_{A_0} := \{(A, B, C) : A = A_0, B = B_0 + kt, C = C_0 + kt, k \in \mathbb{Z}\}.$$

Интуитивно:  $A$  фиксирован как «фазовый якорь», а  $(B, C)$  поднимаются синхронно на один виток.

**Лемма 2.4** (Эквивалентность с полной решёточной параметризацией). Полная параметризация решений

$$A = A_0 + tx, \quad B = B_0 + ty, \quad C = C_0 + m(x + y) \quad (x, y \in \mathbb{Z})$$

содержит якорное семейство как срез  $x = 0, y = k$ . Наоборот, любое решение с  $A \equiv A_0 \pmod{m}$  можно свести к якорной форме: выбрав  $x$  из равенства  $A = A_0 + tx$  и положив  $k = y$ , получаем  $(A, B, C) \in \mathcal{S}_{A_0}$  после вычитания  $tx$  из  $B$  и  $C$ .

**Замечание 2.5** (Пример при  $m = 6$ ). Для минимального треугольника  $(A_0, B_0, C_0) = (1, 2, 3)$  якорное семейство по  $A$ :

$$(1, 2 + 6k, 3 + 6k), \quad k \in \mathbb{Z},$$

что эквивалентно общей формуле при  $x = 0, y = k$ . Аналогично можно якорить  $B$  или  $C$ :  $(A, B, C) = (A_0 + kt, B_0, C_0 + kt)$  или  $(A_0 + kt, B_0 + kt, C_0)$ .

### 3 Двойное решето для $6k \pm 1$

Фиксируем  $z \geq 5$ , множество простых  $\mathcal{P}(z) = \{p : 5 \leq p \leq z\}$ , и  $M = \prod_{p \in \mathcal{P}(z)} p$ . Для  $p \in \mathcal{P}(z)$  пусть  $t_p \equiv 6^{-1} \pmod{p}$ .

**Лемма 3.1** (Двойное решето). Множество индексов

$$S(z) = \{k \in \mathbb{Z} : \forall p \in \mathcal{P}(z) \quad k \not\equiv \pm t_p \pmod{p}\}$$

имеет период  $M$  и в одном периоде содержит ровно

$$\varphi_2(M) = \prod_{p \in \mathcal{P}(z)} (p-2)$$

разрешённых классов. Каждому разрешённому классу  $k \equiv r \pmod{M}$  соответствует двойная прогрессия  $6(r + jM) \pm 1$  без делителей  $\leq z$ .

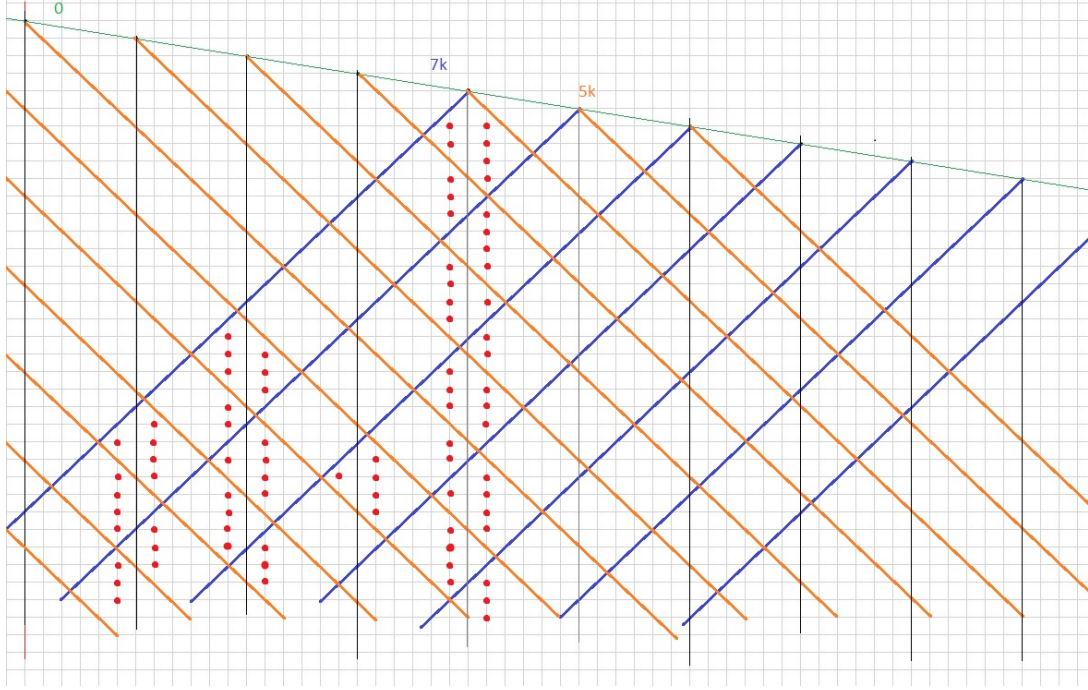


Рис. 3: Двойное решето для  $m = 30$ . Красные точки показывают вероятного простого.

**Замечание 3.2** (Пояснение к рисунку двойного решета). На рисунке изображены два ситовых слоя:

- **левое решето**  $5k$  (запреты по простому  $p = 5$ ),
- **правое решето**  $7k$  (запреты по простому  $p = 7$ ).

Они даны в виде наклонных прямых, которые образуют перекрёстную решётку на фазовой плоскости.

Вдоль нулевой оси (вертикаль  $6k$ ) вниз идут каналы  $6k \pm 1$ . По обе стороны от неё нанесены красные точки — кандидаты на простые. До момента пересечения  $5 \cdot 7 = 35$  все эти точки являются потенциально простыми:

$$11, 13, 17, 19, 23, 29, \dots$$

Некоторые из них будут выбиваться последующими решётами (по большим простым).

Характерные места:

- на левом канале (через  $v = 5$ ) видно последовательность  $11, 13, 19, \dots$ , но в точке 25 срабатывает решето  $5k$ ;
- на правом канале (через  $v = 1$ ) идут  $11, 17, 23, 29$ , а затем в точке 35 срабатывает двойное пересечение решёт  $5k$  и  $7k$ .

Таким образом рисунок демонстрирует: каждый красный маркер — это «живое место» ситовой решётки, пока его не исключит одно из следующих простых.

## 4 Гипотеза щита

**Определение (щитового окна).** Пусть  $p < q$  — соседние простые числа. Определим щитовым окном интервал

$$W(p) := (p^2, q^2).$$

Внутри  $W(p)$  сито на каналах  $6k \pm 1$  действует только ограничениями от простых  $\leq p$ ; следующий простой  $q$  «включается» лишь на правой границе  $q^2$ .

**Наблюдение (пример  $p = 5, q = 7$ ).** В окне  $W(5) = (25, 49)$  на каналах  $6k \pm 1$  остаются простые

$$29, 31, 37, 41, 43, 47,$$

в частности появляется пара близнецов 29, 31. Здесь новые ситовые ограничения начинают работать только с числа  $49 = 7^2$ .

**Формулировка (гипотеза щита).** Если в некотором щитовом окне  $W(p) = (p^2, q^2)$  существует пара близнецов  $(u, u+2)$ , то пары близнецов существуют и в бесконечно многих последующих окнах  $W(p')$  при  $p' \rightarrow \infty$ .

**Индуктивная эвристика.** Структура запретов в  $W(p)$  описывается периодом

$$M(p) = \prod_{5 \leq r \leq p} r$$

по китайской теореме об остатках. Наличие пары близнецов означает, что в этом слове из «живых» и «дыр» есть два соседних разрешённых места. При переходе к следующему окну  $W(p')$  этот шаблон поднимается по модулю  $M(p)$  (и его расширениям). Таким образом, если пара близнецов появилась в одном щитовом окне, то по индукции она будет появляться и в последующих окнах, сохраняясь в бесконечной последовательности.

## 5 Провал радикала: что это и как он ограничен

**Лемма 5.1** (Провал радикала: общий vs якорный режим). Пусть  $m \geq 1, A_0 + B_0 \equiv C_0 \pmod{m}$  и

$$A = A_0 + mx, \quad B = B_0 + my, \quad C = C_0 + m(x + y).$$

Обозначим  $C'_0 = \text{rad}(\gcd(A_0, B_0) \gcd(A_0, C_0) \gcd(B_0, C_0))$  и  $C_m = \text{rad}(m)$ . Тогда

$$\Delta(A, B, C) = \frac{\text{rad}(A) \text{rad}(B) \text{rad}(C)}{\text{rad}(ABC)} \leq \begin{cases} C'_0 C_m^2, & \text{общий случай,} \\ C'_0 C_m, & \text{якорный режим (якорим } A; x = 0, B = B_0 + my, C = C_0 + my) \end{cases}$$

**Замечание 5.2** (Уточнение якорного режима). В якорном режиме вклад простых  $p \mid m$  зависит только от остатков  $A_0, B_0, C_0$ . Если дополнительно  $\gcd(A_0, m) = 1$ , то для всех  $p \mid m$  имеем  $k_p \leq 1$  и

$$\Delta(A, B, C) \leq C'_0.$$

Вообще всегда справедлива более тонкая оценка

$$\Delta(A, B, C) \leq C'_0 \text{rad}(\gcd(A_0, m)),$$

а грубая линейная  $C'_0 C_m$  удобна как универсальная «короткая» граница.

**Замечание 5.3** (Коэффициент качества). Введём коэффициент качества класса

$$\kappa_{\text{gen}}(m) := \text{rad}(m)^2, \quad \kappa_{\text{anc}}(A_0; m) := \text{rad}(m) \quad (\text{или тоньше } \text{rad}(\gcd(A_0, m))).$$

Тогда  $\Delta \leq C'_0 \kappa$ , и чем меньше  $\kappa$ , тем «чище» тройка по смыслу ABC: якорение и взаимная простота  $A_0$  с  $m$  минимизируют провал радикала.

*Идея доказательства.* Пусть  $k_p$  — число из  $\{0, 1, 2, 3\}$ , равное количеству компонент  $A, B, C$ , делящихся на простой  $p$ . Тогда вклад  $p$  в  $\Delta$  равен  $p^{k_p-1}$ , откуда общий верхний предел  $k_p - 1 \leq 2$  даёт  $\text{rad}(m)^2$ . В якорном случае из  $A_0 + B_0 \equiv C_0 \pmod{p}$ : если  $p \nmid A_0$ , то  $B_0$  и  $C_0$  не могут одновременно делиться на  $p$  ( $k_p \leq 1$ ); если  $p \mid A_0$  и класс минимален (не все три делятся на  $p$ ), то  $k_p \leq 2$ , что даёт множитель не выше  $p$ . Если кроме того  $\gcd(A_0, m) = 1$ , то для всех  $p \mid m$  имеем  $k_p \leq 1$  и вклад равен 1.  $\square$



Рис. 4: Провал радикала  $\Delta$  в якорном режиме:  $A = A_0$  фиксирован,  $(B, C) = (B_0 + my, C_0 + my)$ . Резкие падения соответствуют появлению общего простого делителя, границы сверху соответствуют оценкам из леммы ( $C'_0 C_m$  или тоньше  $C'_0 \text{rad}(\gcd(A_0, m))$ ).

**Замечание 5.4** (Геометрия провала на графике). В якорном режиме  $A$  фиксирован, а  $(B, C) = (B_0 + my, C_0 + my)$  сдвигаются синхронно. Поэтому соседние точки  $y$  дают почти совпадающие величины  $B$  и  $C$  (различаются на шаг  $m$ ), а при попадании общего простого делителя в обе компоненты радикал  $\text{rad}(ABC)$  резко «схлопывается», что видно как скачок вниз  $y \Delta$  на графике (провал).

## 6 TOR: двухфазная намотка и китайская теорема об остатках

**Определение 6.1** (Двухфазная намотка и тор). Пусть  $m_1, m_2 \in \mathbb{Z}_{\geq 1}$ . Для  $n \in \mathbb{Z}$  зададим две фазы

$$v_1(n) := n \bmod m_1, \quad v_2(n) := n \bmod m_2.$$

Отображение

$$\Phi : \mathbb{Z} \rightarrow (\mathbb{Z}/m_1\mathbb{Z}) \times (\mathbb{Z}/m_2\mathbb{Z}), \quad \Phi(n) = (v_1(n), v_2(n))$$

— это двухфазная намотка на тор  $S^1 \times S^1$  (комбинаторно — прямоугольная решётка остатков).

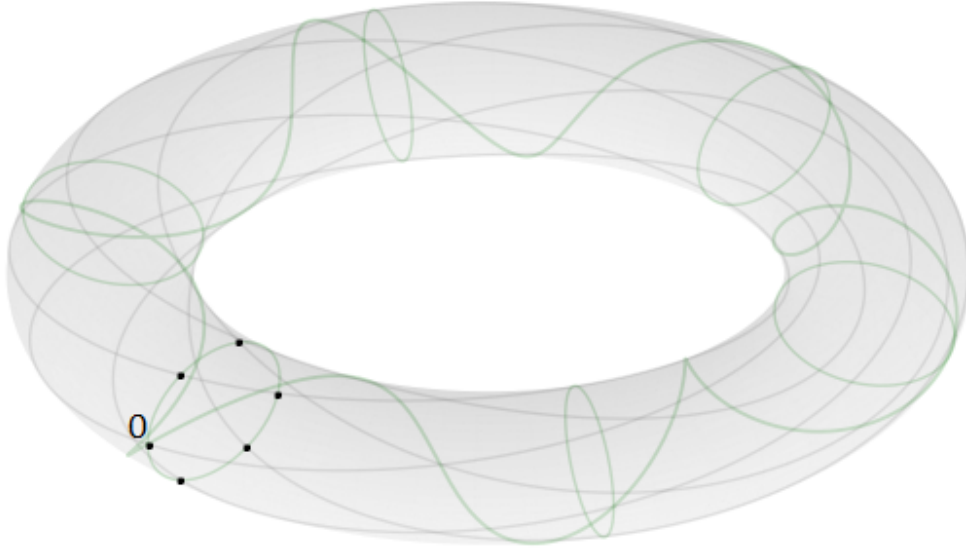
**Утверждение 6.2** (Аналог КТО на торе). Если  $\gcd(m_1, m_2) = 1$ , то для любых остатков  $a \pmod{m_1}$ ,  $b \pmod{m_2}$  существует единственный класс  $n \pmod{M}$ ,  $M = m_1 m_2$ , такой что

$$n \equiv a \pmod{m_1}, \quad n \equiv b \pmod{m_2}.$$

Эквивалентно: орбита  $\{\Phi(n) : n \in \mathbb{Z}\}$  проходит по всем клеткам решётки ровно один раз за период  $M$ . Если  $g = \gcd(m_1, m_2) > 1$ , орбита распадается на  $g$  циклов длины  $M/g$ .

**Замечание 6.3** (Длинная развёртка (идея)). Разворачивая тор в прямоугольник  $[0, m_1) \times [0, m_2)$ , траектория  $n \mapsto (v_1(n), v_2(n))$  визуализируется как прямая с рациональным наклоном, замыкающаяся с периодом  $M$ . Это геометрическая форма китайской теоремы об остатках.

**Замечание 6.4** (Эллиптическая кривая на торе (набросок)). Наложив алгебраическое условие (например,  $y^2 = x^3 + Ax + B$  на одной фазе) и сочетая его с второй фазой, получаем кривую на торе с выделенной «центральной» точкой — геометрическим образом точки на бесконечности. Этот пункт даёт направление для дальнейшего анализа и визуализаций.



## Заключение

В работе построена геометрическая интерпретация числовой прямой через намотку на цилиндр и фазовую развёртку. Мы выделили минимальные треугольники как базовые шаблоны для троек  $A + B = C$ , а также показали, что операции сдвига и подъёма согласуются с векторными операциями на фазовой плоскости.

Далее введена гипотеза *щита*: в каждом окне  $(p^2, (p+1)^2)$  для соседних простых  $p < p+1$  остаётся ненулевая конфигурация кандидатов на простые, и наличие пары близнецов в одном окне эвристически гарантирует их повторение в последующих окнах.

Мы уточнили понятие *провала радикала*: в общем случае он ограничен  $C'_0 \operatorname{rad}(m)^2$ , а в якорном режиме —  $C'_0 \operatorname{rad}(m)$ , что даёт простую эвристику оценки качества троек  $(A, B, C)$  в терминах гипотезы ABC.

Наконец, введён *тор* как геометрический аналог китайской теоремы об остатках: двухфазная намотка  $n \mapsto (n \bmod m_1, n \bmod m_2)$  реализует структуру CRT на поверхности  $S^1 \times S^1$ . Это открывает путь к дальнейшим конструкциям (в частности, к эллиптическим кривым на торе).

Таким образом, добавленные фрагменты (щит, провал радикала, тор) формируют целостную картину: геометрическая интерпретация даёт не только наглядность, но и комбинаторные эвристики для классических задач теории чисел.

**Контакты автора:** [zz.vexel@gmail.com](mailto:zz.vexel@gmail.com)/ GitHub [zzVex](#) .